

УДК 631.372

## ТЕОРЕТИЧНІ ДОСЛІДЖЕННЯ ПОКАЗНИКІВ ТОЧНОСТІ РУХУ САМОХІДНОГО ШАСІ ТИПУ Т-16МГ

С.П. Погорілій, канд. техн. наук

Національна академія аграрних наук України.

Наведено динамічне моделювання руху самохідного шасі з технологічним модулем. Визначено вплив основних конструкційних параметрів технологічного модуля на самохідне шасі під час руху.

**Ключові слова:** моделювання руху, самохідне шасі, конструкційні параметри, технологічний модуль.

**Проблема.** Для визначення впливу конструкційних параметрів технологічного модуля (ТМ) на динамічні властивості СШ під час руху необхідно скласти математичну модель, яка описе рух СШ з ТМ у горизонтальній площині і даст можливість оцінити показники точності руху машинно-тракторного агрегату на різних фонах.

**Аналіз останніх досліджень і публікацій.** Визначення впливу основних параметрів ТМ на точність руху СШ Т-16МГ розглядалось, як реакція на вхідні керуючий та збурюючий впливи. При цьому реакція СШ на керуючий вплив буде характеризувати його керованість, а на збурюючий – стійкість руху [1-3]. Даний підхід дає можливість розглядати СШ у якості динамічної системи, яка перетворює вхідні параметри у вихідні під час його руху. У якості збурюючого впливу було прийнято навантаження на передню вісь ( $Y_n$ ) та швидкість руху СШ ( $V_o$ ), а керуючого впливу – кут повороту керованих коліс СШ ( $\alpha$ ).

Вихідними змінними параметрами, що задають траєкторію руху СШ є поперечне зміщення центра мас СШ ( $x_c$ ) та кут відхилення його повздовжньої осі від напрямку руху ( $\phi$ ) (див. рис. 1).

**Мета дослідження.** Теоретично дослідити вплив конструкційних параметрів ТМ та швидкості руху агрегату на динамічні властивості СШ типу Т-16МГ під час руху на різних фонах.

**Результати дослідження.** Для спрощення написання математичної моделі приймемо спрощену схему у вигляді лінійної моделі [1-3] та приймемо наступні припущення [3, 4]:

- СШ з ТМ розглядається у вигляді твердого тіла, що має вісь симетрії, яка проходить через центр мас;
- швидкість руху під час проведення досліджень змінюється несуттєво, тому приймаємо її постійною;
- бокова взаємодія шин СШ з деформованою поверхнею розглядається в рамках гіпотези «бічного відведення»;
- кут відведення шин коліс СШ, які розташовані на одній геометричній осі, а також бічні сили, що діють на них, приймаємо одинаковими;
- кути повороту керованих коліс СШ малі, а отже, вважаємо їх рівними;
- сили і моменти, які прикладені до симетрично (відносно по-вздовжньої осі СШ) розташованих коліс, попарно рівні й паралельні. Вони можуть бути замінені рівнодіючими подвісними силами та моментами.

Прийняті спрощення та припущення істотно не вплинуть на точність фактичного розрахунку, однак спростять, у деякій мірі, теоретичні дослідження.

Диференціальні рівняння коливань СШ складаємо у формі Лагранжа другого роду [5, 6]:

$$\frac{d}{dt} \cdot \frac{\partial T_m}{\partial \dot{q}_i} - \frac{\partial T_m}{\partial q_i} = Q_i, \quad (1)$$

де  $T_m$  – кінетична енергія системи;  $q_i$  – узагальнена координата;  $Q_i$  – узагальнена сила;  $i$  – кількість узагальнених координат системи.

Згідно з прийнятими припущеннями приймаємо, СШ під час досліджень здійснює відносно нерухомої площини рівномірний поступальний рух зі швидкістю  $V_0$  ( $V_0 = \text{const}$ ).

При розгляді СШ в горизонтальній площині, під час переміщення, можна визначити його положення відносно нерухомої

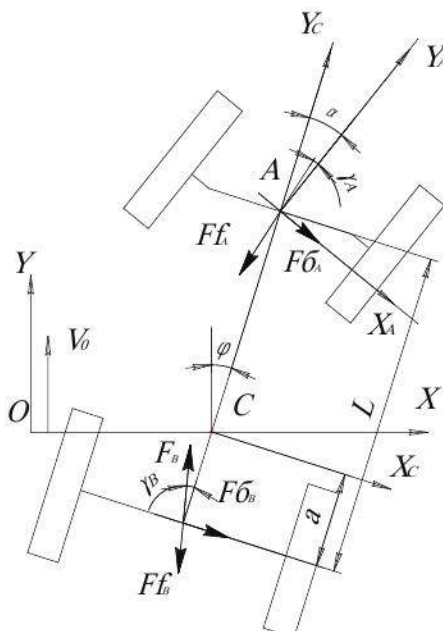


Рис. 1. Схема сил, які діють на СШ у горизонтальній площині

системи  $XOY$  за допомогою двох координат: кутом повороту ( $\phi$ ), який утворюють повздовжня вісь СШ та вісь  $OY$  та зміна координати центра мас СШ ( $x_c$ ) (рис. 1).

Таким чином, СШ по відношенню до площини  $XOY$  має два ступеня вільності, які і було обрано узагальненими координатами.

Кінематичну енергію СШ ( $T_m$ ) відносно площини  $XOY$  знаходимо з виразу [5, 6]:

$$T_m = \frac{M_w \cdot V_c^2 + J_c \cdot \omega_w^2}{2}, \quad (2)$$

де  $M_w$  – маса СШ, кг;  $V_c$  – лінійна швидкість центра мас СШ в площині  $XOY$ , м/с;  $J_c$  - момент інерції СШ відносно вертикальної осі CZ, кг·м<sup>2</sup>;  $\omega_w$  – кутова швидкість повороту СШ, рад/с.

У диференціальній формі вираз (2) матиме вигляд:

$$T_m = \frac{M_w \cdot \left( \frac{d}{dt} x_c \right)^2 + J_c \cdot \left( \frac{d}{dt} \phi \right)^2}{2} \quad (3)$$

Оскільки кінетична енергія залежить тільки від швидкості і не залежить від узагальненої координати, тоді  $\partial T_m / \partial q_i = 0$ .

Частинні похідні по швидкостях узагальнених координат дорівнюють:

$$\frac{\partial T_m}{\partial \left( \frac{d}{dt} x_c \right)} = M_w \cdot \left( \frac{d}{dt} x_c \right) \quad (4)$$

$$\frac{\partial T_m}{\partial \left( \frac{d}{dt} \phi \right)} = J_c \cdot \left( \frac{d}{dt} \phi \right) \quad (5)$$

Похідні за часом:  $\frac{d}{dt} \cdot \frac{\partial T_m}{\partial \left( \frac{d}{dt} x_c \right)} = M_w \cdot \left( \frac{d^2}{dt^2} x_c \right)$  (6)

$$\frac{d}{dt} \cdot \frac{\partial T_m}{\partial \left( \frac{d}{dt} \phi \right)} = J_c \cdot \left( \frac{d^2}{dt^2} \phi \right) \quad (7)$$

Після перетворень система рівнянь (1), з урахуванням перетворень (3 – 7), матиме наступний вигляд:

$$\begin{cases} M_w \cdot \left( \frac{d^2}{dt^2} x_c \right) = Q_{x_c} \\ J_c \cdot \left( \frac{d^2}{dt^2} \phi \right) = M_\phi \end{cases} \quad (8)$$

Розрахунок узагальнених сил та моментів, які діють на СШ під час руху, приведено в праці [7].

Підставивши значення узагальнених сил та моментів в систему (8), отримаємо систему диференціальних рівнянь, яка описує руху СШ з ТМ у горизонтальній площині:

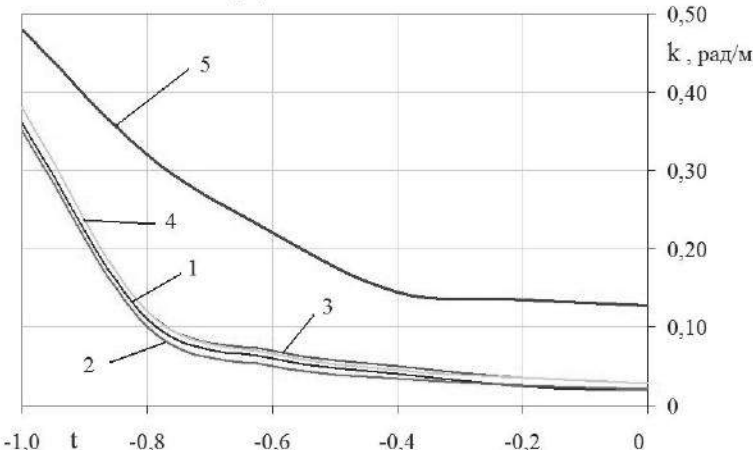
$$\begin{cases} M_w \cdot \left( \frac{d^2}{dt^2} x_c \right) = k_B \cdot \left( \phi + \frac{1}{V_0} \cdot \left( a \cdot \frac{d}{dt} \phi - \frac{d}{dt} x_c \right) \right) \cdot (1 + \alpha) + Ff_A \cdot (\gamma_A - \alpha) + \\ + (Ff_B - F_B) \cdot \gamma_B + k_A \cdot \left( \phi + \alpha - \frac{1}{V_0} \cdot \left( \frac{d}{dt} x_c + (L - a) \cdot \frac{d}{dt} \phi \right) \right) \\ J_c \cdot \left( \frac{d^2}{dt^2} \phi \right) = k_A \cdot \left( \phi + \alpha - \frac{1}{V_0} \cdot \left( \frac{d}{dt} x_c + (L - a) \cdot \frac{d}{dt} \phi \right) \right) \cdot (L - a) - \\ - Ff_A \cdot (L - a) \cdot (\alpha - \gamma_A) - F_B \cdot a \cdot \gamma_B + k_B \cdot \left( \phi + \frac{1}{V_0} \cdot \left( a \cdot \frac{d}{dt} \phi - \frac{d}{dt} x_c \right) \right) \cdot a + Ff_B \cdot a \cdot \gamma_B \end{cases}, \quad (9)$$

де  $k_A, k_B$  – коефіцієнт опору бічного ведення відповідно передніх та задніх шин коліс СШ, Н/рад;  $\phi$  – кут повороту СШ у горизонтальній площині відносно початкового напрямку руху, рад;  $V_0$  – швидкість руху СШ, м/с;  $a$  – відстань від центра мас СШ до заднього моста, м;  $x_c$  – по-перечне зміщення центра мас СШ, м;  $\alpha$  – кут повороту керованих коліс СШ, рад;  $Ff_A, Ff_B$  – сила опору кочення відповідно передніх та задніх шин коліс СШ, Н;  $\gamma_A, \gamma_B$  – кути відведення передніх і задніх коліс СШ, рад;  $F_B$  – дотична сила задніх коліс СШ, Н;  $L$  – база трактора, м;

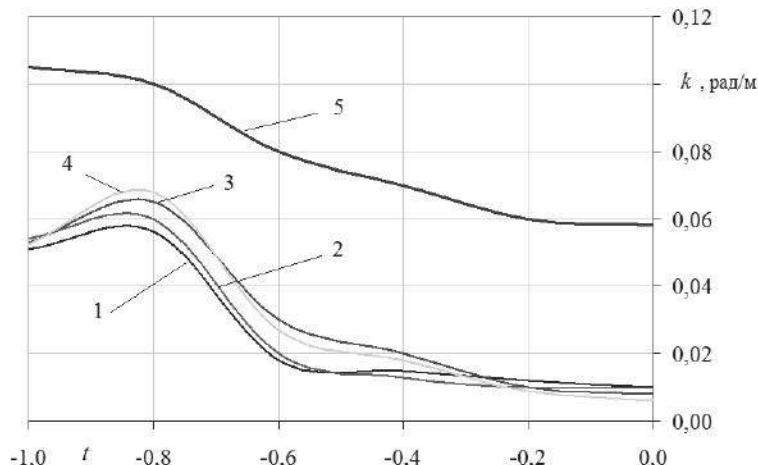
Значення параметрів для моделювання руху СШ представлено в праці [7]. Для розрахунків було використано чотири варіанти значень вихідних величин: маса, яка припадає на передню вісь СШ ( $M_w = 690$  і  $1255$  кг, та швидкість руху СШ ( $V_0 = 1,53$  і  $2,38$  м/с для поля, підготовленого до сівби і  $V_0 = 2,82$  і  $6,44$  м/с для асфальтобетонної дороги).

Результати моделювання представлено на рис. 2 та 3. Отримані криві відображають характеристику точності руху СШ вздовж базової лінії відповідно на полі, підготовленому до сівби (рис. 2), та на асфаль-

тобетонній дорозі (рис. 3). Характеристика точності руху представлена у функції хвильового числа ( $k$ ) та аргументу ( $t$ ), який характеризує розміщення ТМ на СШ [8].



**Рис. 2.** Характеристика точності руху СШ вздовж базової кривої по полю, підготовленому до сівби: 1 – варіант I; 2 – варіант II; 3 – варіант III; 4 – варіант IV; 5 – граничне значення



**Рис. 3.** Характеристика точності руху СШ вздовж базової кривої по асфальтобетонній дорозі: 1 – варіант I; 2 – варіант II; 3 – варіант III; 4 – варіант IV; 5 – граничне значення.

Величина ( $t$ ) дорівнює відношенню відстані від задньої осі СШ до центра ваги ТМ та бази СШ. В нашому випадку розміщення ТМ відбувається в передній частині СШ, тому значення ( $t$ ) від'ємні.

Величина ( $k$ ) показує, яку точність руху забезпечує енергозасіб, тобто, які рядки рослин він може копіювати з заданою точністю. Рядки рослин можна охарактеризувати хвильовим числом [8]. Основна вага гармонічних викривлень рядків рослин характеризується хвильовими числами 0,5 – 0,6 рад/м [8].

Границє значення допустимої похибки копіювання розраховується, як відношення амплітуди допустимої похибки копіювання ( $A_{don} = 0,03$  м) до амплітуди вхідного сигналу ( $a_c = 0,2$  м) і становить  $A_{don}/a_c = 0,15$  [8].

Результати моделювання показують, що для поля, підготовленого до сівби, всі криві мають одинаковий характер для всіх варіантів значень, це означає, що величини швидкості руху та навантаження на передній міст в обраних межах суттєво не впливають на точність руху СШ. Максимальне значення хвильового числа становить (0,38 рад/м) при ( $t = -1,0$ ).

Для асфальтобетонної дороги характер кривих дещо відрізняється, але вони близькі між собою. Максимальне значення хвильового числа становить (0,063 рад/м) при ( $t = -0,83$ )

Як видно з рисунків 2 та 3, значення всіх кривих знаходяться нижче граничної кривої 5, це означає, що СШ з ТМ, забезпечує точність руху вздовж базової лінії з допустимою похибкою копіювання ( $A_{don}/a_c = 0,15$ ).

**Висновки.** Теоретичні дослідження моделювання руху СШ дають можливість отримати розрахункові значення впливу основних конструкційних параметрів ТМ на СШ. Як видно з розрахунків, при навантаженні на передню вісь СШ ( $M_w = 1255$  кг, при цьому маса ТМ становить 830 кг) та швидкість руху СШ ( $V_o = 2,38$  м/с для поля підготовленого до сівби і  $V_o = 6,44$  м/с для асфальтобетонної дороги) забезпечується точність руху вздовж базової лінії з допустимою похибкою копіювання.

---

## БІБЛІОГРАФІЯ

1. Лурье А.Б. Широкозахватные почвообрабатывающие машины / А.Б. Лурье, А. И. Любимов. – Л.: Машиностроение, 1981. – 270 с.
2. Лурье А.Б. Статистическая динамика сельскохозяйственных агрегатов. – Л.: Колос, 1970. – 376 с.

3. Булгаков В.М. Агрегатування плугів: навчальний посібник / В.М. Булгаков, В.І. Кравчук, В.Т. Надикто. – К.: Аграрна наука. – 2008. – 149 с.
4. Чорна Т.С. Обґрунтування схеми та параметрів просапного агрегату на базі орно-просапного трактора. Автореф. дис. ... канд. техн. наук: 05.05.11, ТДАТА. – Мелітополь, 2010. – 25 с.
5. Тарг С.М. Краткий курс теоретической механики. – М.: Изд-во «Наука», 1972. – 478 с.
6. Лурье А.И. Курс теоретической механики / А.И. Лурье, Л.Г. Лойцянский. – М.: Технико-теоретическая литература, 1955. – Т.2. – 596 с.
7. Погорілий С.П. Обґрунтування параметрів пристрою і начіпних технологічних модулів для агрегатування з мобільним енергетичним засобом: дис. ... канд. техн. наук: 05.05.11; Глеваха, 2012. – 190 с.
8. Шкаровский Г.В. Повышение эффективности использования пропашных агрегатов на базе колесного трактора тягового класса 3 (на примере Т-150К): дис. ... канд. техн. наук: 05.20.01; Глеваха, 1996. – 297 с.

## **ТЕОРЕТИЧЕСКИЕ ИССЛЕДОВАНИЯ ПОКАЗАТЕЛЕЙ ТОЧНОСТИ ДВИЖЕНИЯ САМОХОДНОГО ШАССИ ТИПА Т-16МГ**

*Приведены динамическое моделирование движения самоходного шасси с технологическим модулем. Определено влияние основных конструкционных параметров технологического модуля на самоходное шасси во время движения.*

**Ключевые слова:** моделирования движения, самоходное шасси, конструкционные параметры, технологический модуль.

## **THEORETICAL RESEARCHES OF INDEXES OF EXACTNESS OF MOTION OF SELF-PROPELLED UNDERCARRIAGES OF TYPE OF T-16MG**

*Are resulted dynamic design of motion of self-propelled undercarriage with the technological module. Influence of basic construction parameters of the technological module is certain on a self-propelled undercarriage during motion.*

**Key words:** design of motion, self-propelled undercarriage, construction parameters, technological module.